

Анализ трехмерных структур

каф. биофизики
биологического ф-та МГУ

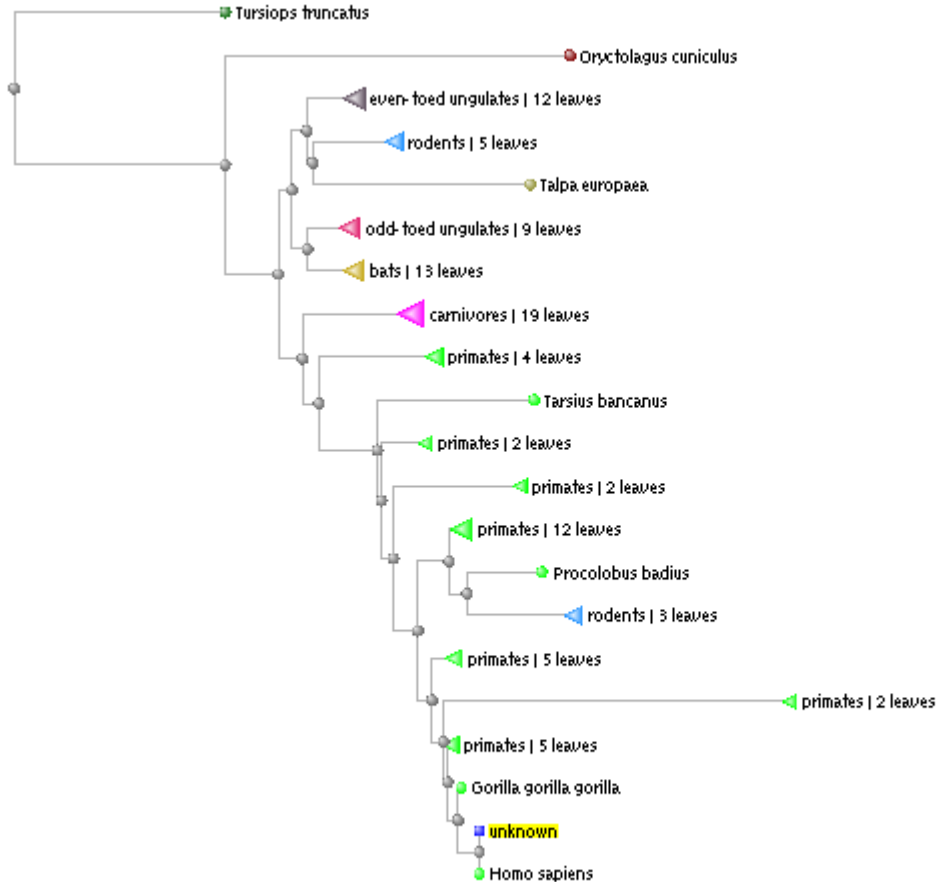
Зленко Д.В.



ЭВОЛЮЦИЯ

Ключевым, очень сильным и мало доказанным положением любой теории, претендующей на установление родства между группами организмов является **линейная связь между родством и сходством.**

Принимая это, на основе сходства последовательностей можно попытаться определить степень родства организмов и как давно они разошлись.



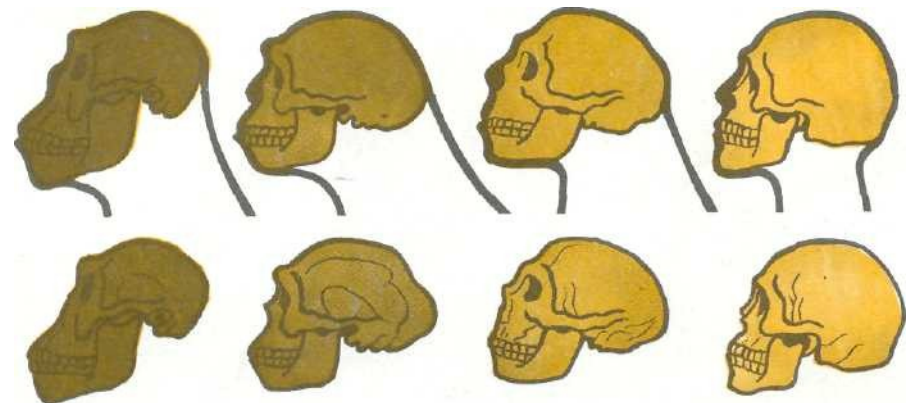
При построении бинарного филогенетического дерева необходимо учитывать дополнительно:

- Разную скорость эволюции различных групп белков
- Разную скорость эволюции в пределах различных таксономических групп

Однонуклеотидные полиморфизмы

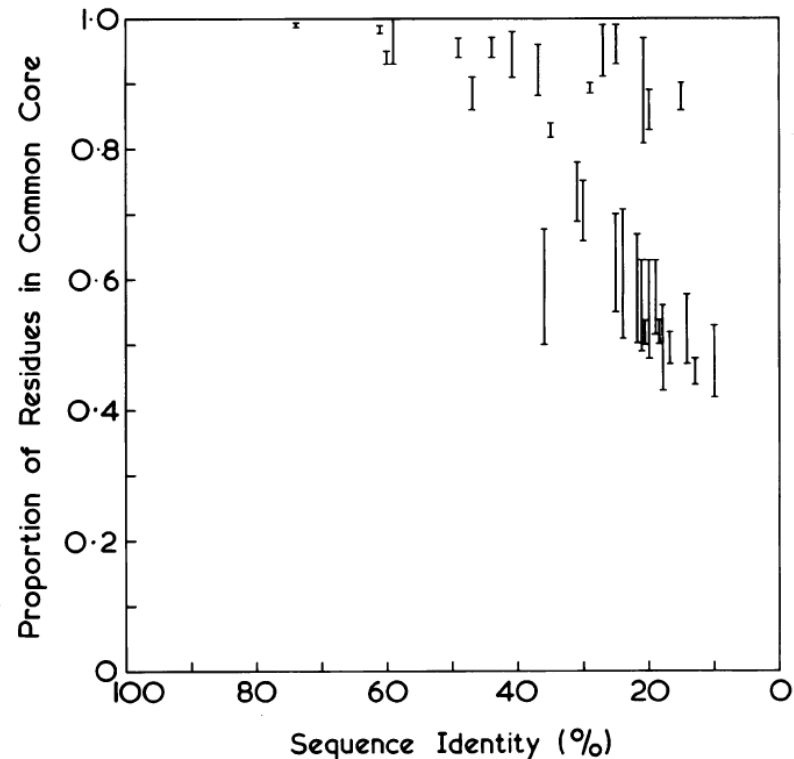
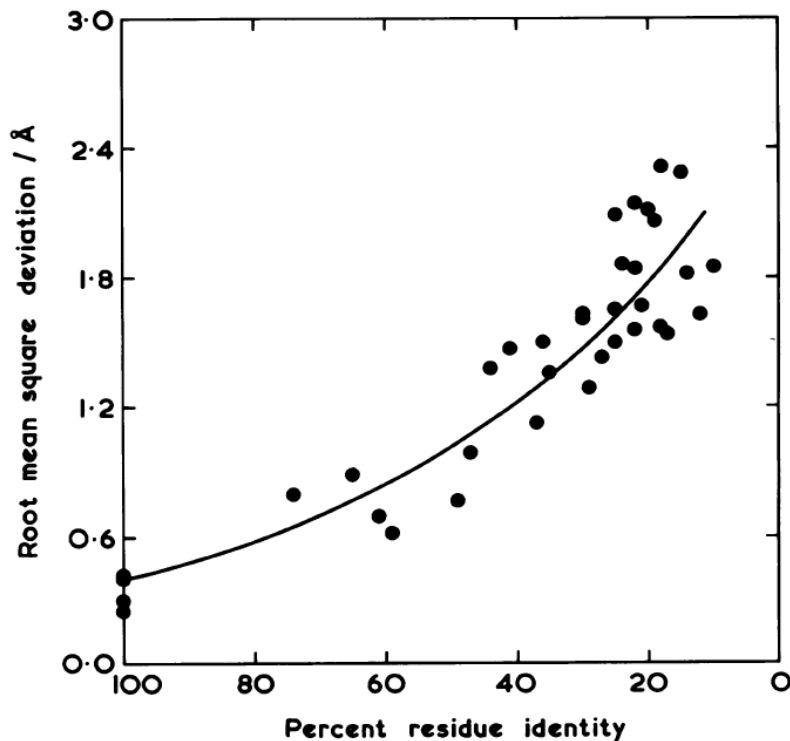
SNP - это точечные однонуклеотидные замены, которые характеризуют изменчивость от особи к особи.

- в среднем встречаются раз в 500 - 2000 п.о.
- можно подразделить на значащие, и синонимичные.
- анализ синонимичных замен позволяет определить время расхождения двух групп особей.
- анализ значащих замен позволяет выявить области, подверженные давлению отбора.



Эволюция белков

- Наибольшей вариабельностью обладают расположенные на периферии фрагменты последовательности
- Схема укладки цепи консервативнее собственно первичной последовательности
- Мутации, приводящие к изменению во взаимном расположении элементов вторичной структуры встречаются чаще, чем мутации меняющие эти элементы.



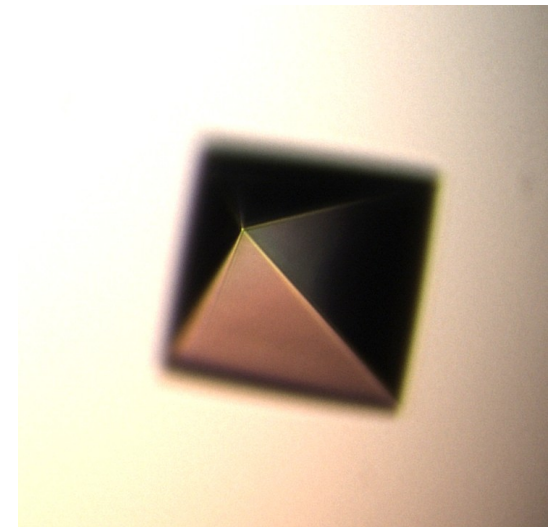
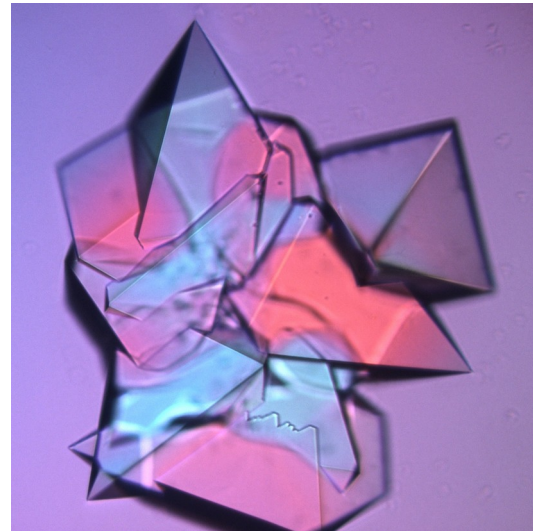
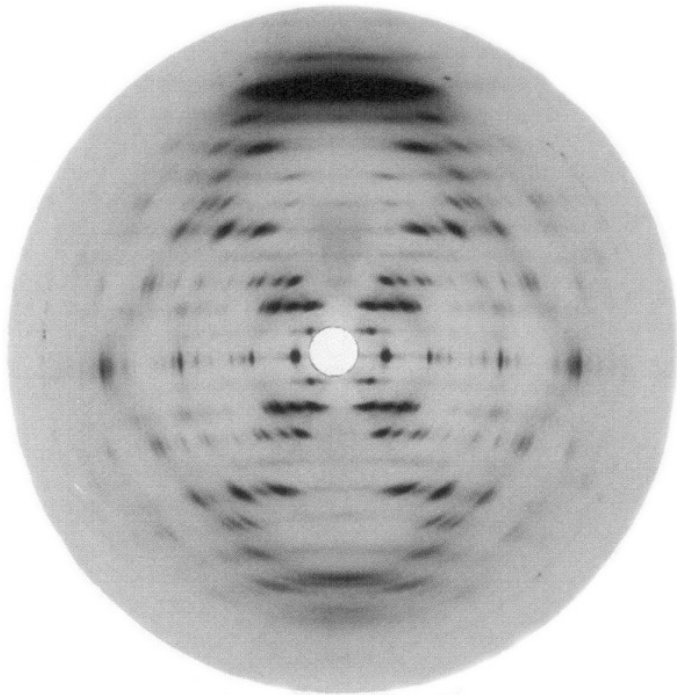
Chothia C. and Lesk A.M. "The relation between the divergence of sequence and structure in proteins". 1986. EMBO J. 5(4): 823–826.

Рентгеноструктурный анализ

- В основе метода лежит явление дифракции рентгеновского излучения на электронах атомов кристалла
- Рентгеновское излучение - тормозное излучение электронов с длинами волн в диапазоне от 0.1 до 100Å
- Дифракция есть явление преломления света на границе двух сред
- Кристалл можно представить в виде набора дифракционных решеток



Вильгельм Рентген
(1845 - 1923)

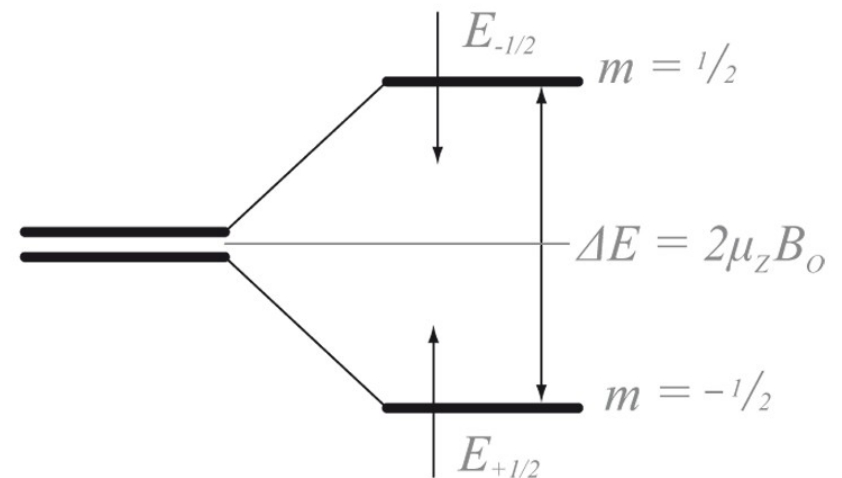
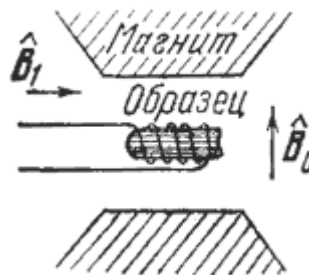


Ядерный Магнитный Резонанс

- В основе метода лежит явление поглощения электромагнитного излучения за счет переориентации ядерных спинов во внешнем магнитном поле
- Ядро имеет разную энергию в зависимости от ориентации спина относительно внешнего поля
- Переориентация спинов возможна с поглощением или излучением кванта света
- Каждое ядро находится не только во внешнем поле, но и в поле соседних ядер



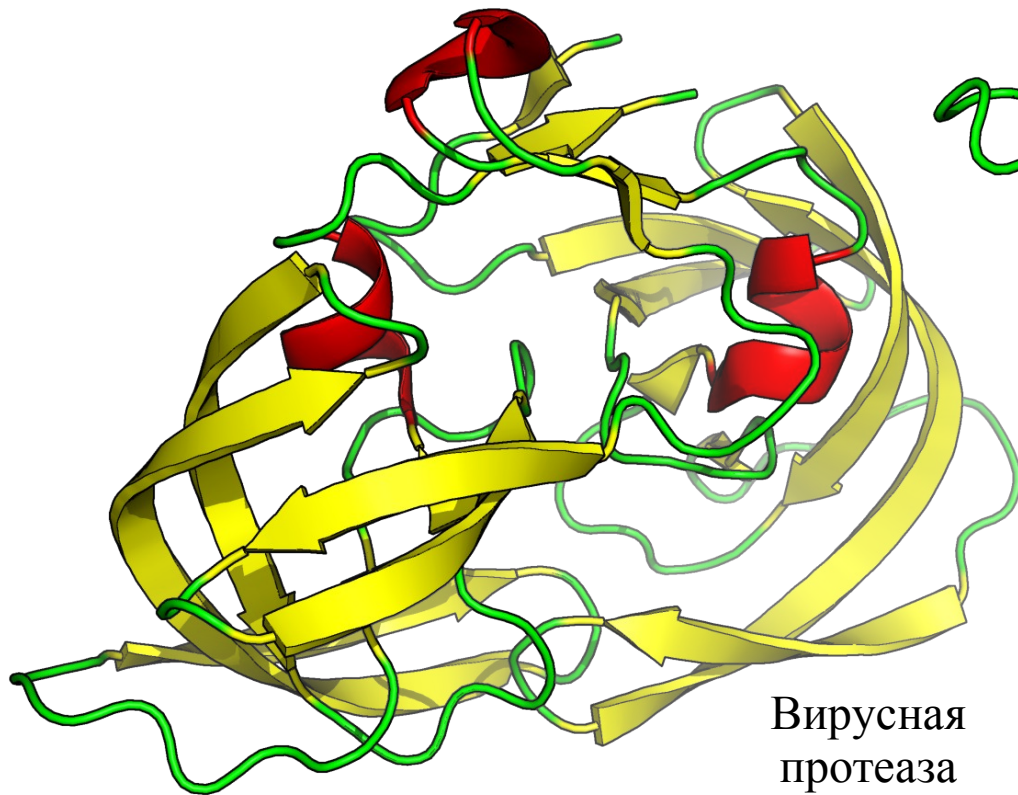
Айзек Раби
(1898 - 1988)



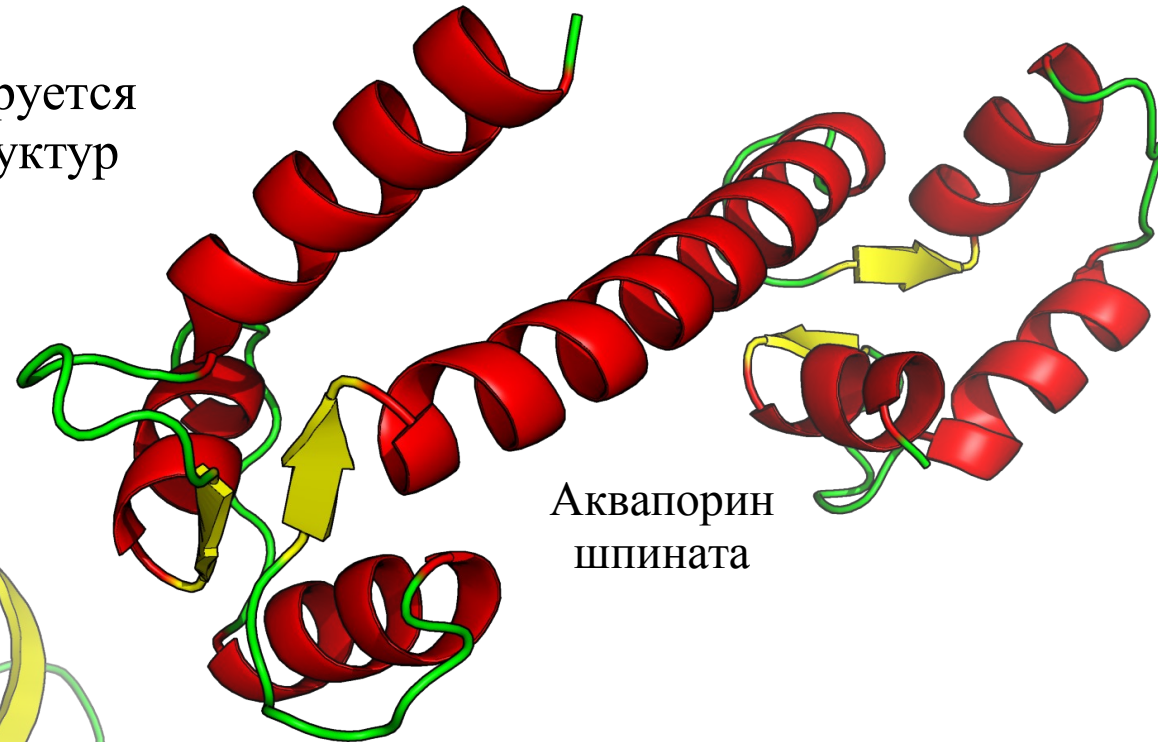
PDB - Protein Data Bank



- Объем базы данных PDB составляет 114 тыс X-Ray и 12 тыс ЯМР структур
- Меньший объём успешно компенсируется трёхмерностью задачи сравнения структур друг с другом



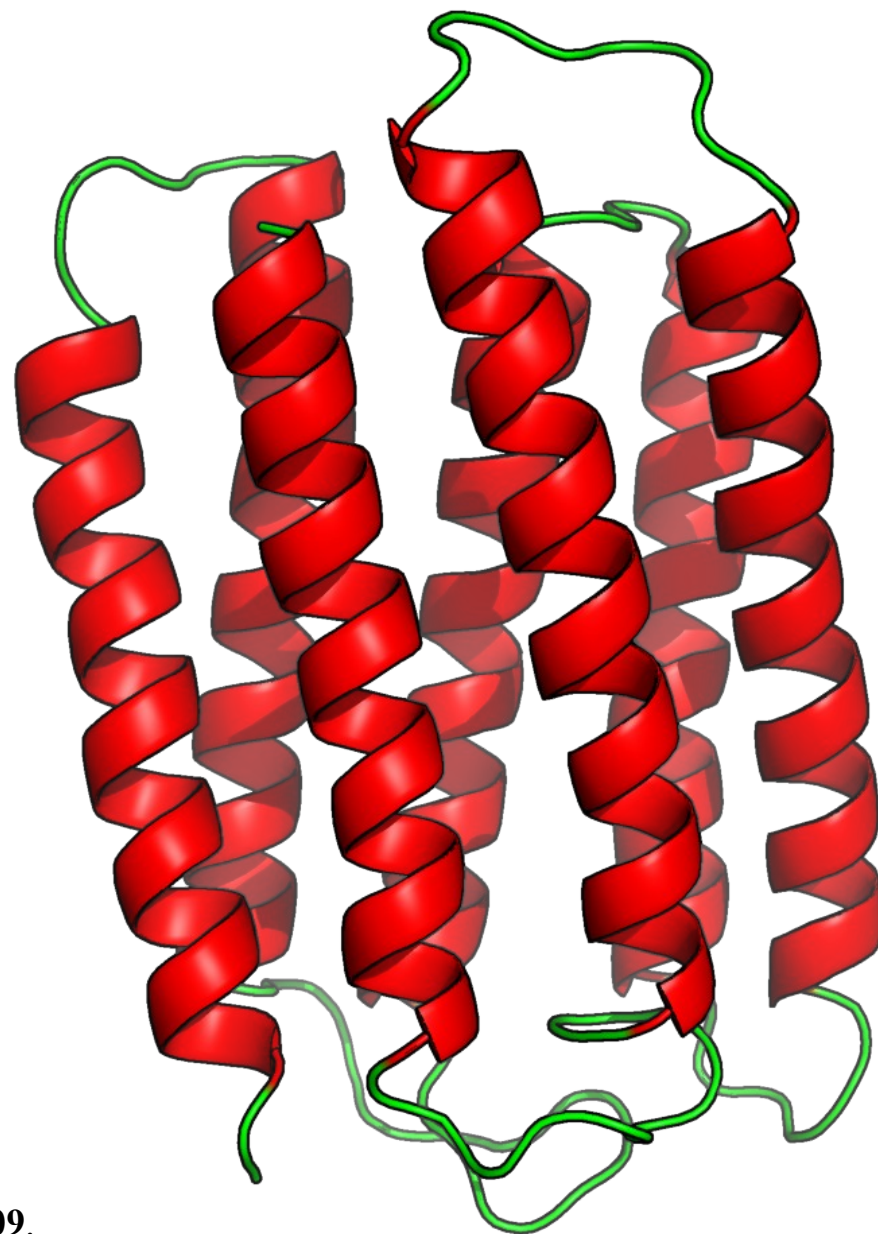
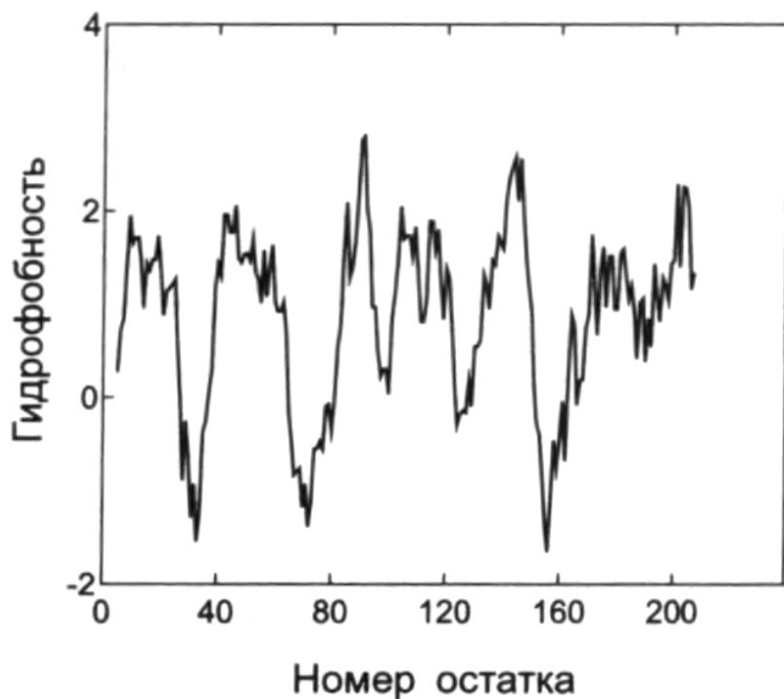
Вирусная
протеаза



Аквапорин
шпината

Профили гидрофобности

- Гидрофобность аминокислотных остатков коррелирует со свойствами их окружения
- Трансмембранные α -спирали сложены гидрофобными остатками
- Многие α -спирали имеют гидрофобную и гидрофильную поверхности.



Леск А. «Введение в биоинформатику». БИНОМ. Москва. 2009.

Krystek S.R., Metzler W.J., Novotny J. "Hydrophobicity Profiles for Protein Sequence Analysis. Curr Protoc Protein Sci". 2001. doi: 10.1002/0471140864.ps0202s00.

Выравнивание не показательно

Парное выравнивание леггемоглобина люпина и миоглобина кашалота не показательно (сходство 16.1%), как и для бычьего химотрипсина и субтилизина *Bacillus licheniformis* (12.4%):

Alignment

Learn how to print this alignment in color

1	MNNSKTIISKVLLSLSLFTVIGASAFVIQDELMOHFAAEVSAEEIKGHEEKINYYGVNA	5	P00766	CTRA_BOVIN
1	-----	60	P09331	ETA_STAAU
6	IQPVLSGLSRIVNGEEAVPGSNPQVSLQDK---TGFHFCG-----GSLINEN	63	P00766	CTRA_BOVIN
61	ENLRLKELFSKM---DEKDRQKRYHYNTIGNVFWAGQTSATGVLIGHTNLTNRHIAKFAAG	117	P09331	ETA_STAAU
64	---DVVVAG---PFDQSSSEKIQKLRKARVFNNSKYNSTLIMNDITLLRLSTA---ASF	114	P00766	CTRA_BOVIN
118	DPSKVSFRPSPINTDDNGNTEETRYGEYEVREILQE---PFGAGVDLALIRLKPQNGVSL	173	P09331	ETA_STAAU
115	SQTIVSAVCLPSASDDFAAGTTCVTTGWGLTRYTNANTDRLQQA SPLLSNTNCKRYWGT	174	P00766	CTRA_BOVIN
174	GDKISPAK-IGTSNDLRDGDLELIGYPPD---HKVNCMHRSEIELTITLSPGLRYYGF	227	P09331	ETA_STAAU
175	KIKDAMICAGASGVSSCMGDGGPLVCKHOGAMTLVGLVSWGSSSTSTSTPGVYARVATL	234	P00766	CTRA_BOVIN
228	TVPG-----N-----SSE-LENSNG--ELVGLHSSKVSHLDRHQINY--GVGI	267	P09331	ETA_STAAU
235	VNVVQOTLAAN--	245	P00766	CTRA_BOVIN
268	GNVYKRIINEKNE	280	P09331	ETA_STAAU

Annotation

- Beta strand
- Mutagenesis
- Domain
- Propeptide
- Disulfide bond
- Signal peptide
- Chain
- Active site
- Turn
- Helix

Amino acid properties

- Similarity
- Hydrophobic
- Negative
- Positive
- Aliphatic
- Tiny
- Aromatic
- Charged
- Small
- Polar
- Big
- Serine Threonine

- Обе пары белков выполняют аналогичные функции
- Тем не менее пространственные структуры первой пары очень похожи, а для второй не имеют ничего общего

Alignment

Learn how to print this alignment in color

1	CGVPAIQPVLSGLSRIVNGEEAVPGSNPQVSLQDK---TGFHFCG-----GSLINEN	50	P00766	CTRA_BOVIN
1	-----	39	P00780	SUBT_BACLI
51	VWVTAAHCGVITSDVVVAGEFDQSSSEK-IQKLRKARVFNNSKYNSTLIMNDITLLRL	108	P00766	CTRA_BOVIN
40	YLVG-FKSGVKTASVKKDIIKESGGKVDKQFRITNAAKAKLDEALKEVKNDPDAVYVE-	97	P00780	SUBT_BACLI
109	STAAFSQTVSAVCLPSASDDFAAGTTCVTTGWGLTRYTNANTDRLQQA SPLLSN--T	166	P00766	CTRA_BOVIN
98	EDHVAHALAQTVFYGI-----PLTKADKV	121	P00780	SUBT_BACLI
167	NCKKYNQTKIKDAMICAGASGVSSCMGDGG-----PLVCKK----NG	205	P00766	CTRA_BOVIN
122	QAQGFKGANVAVLDTGIQASHPOLNVVGGASVAGEAYNTDGNHGTHVAGTVAALDN	181	P00780	SUBT_BACLI
206	AWTLVG----IVSWGSSSTSTSTPGVYARVATLVNVVQOTLAAN-----	245	P00766	CTRA_BOVIN
182	TTGVLGVAPSVSLYAVKVLNNSSGTYSGLVSGLEWATNGMDVINMSLGGFSSTAMKQ	241	P00780	SUBT_BACLI
246	AVDNAYAFGVVVVAAAGNSGSSGNTNTIGYPAKYDSVIAGVAVD SNSNRASFSSVGAELE	301	P00780	SUBT_BACLI
246	VMAPGAGVYSTYPTSTYATLNGTSMASPHVAGAAALILSKHPNLSAQRVNRISSTATYL	361	P00780	SUBT_BACLI
246	-----	245	P00766	CTRA_BOVIN
362	GSSFYGGKGLINVEAAQ	379	P00780	SUBT_BACLI

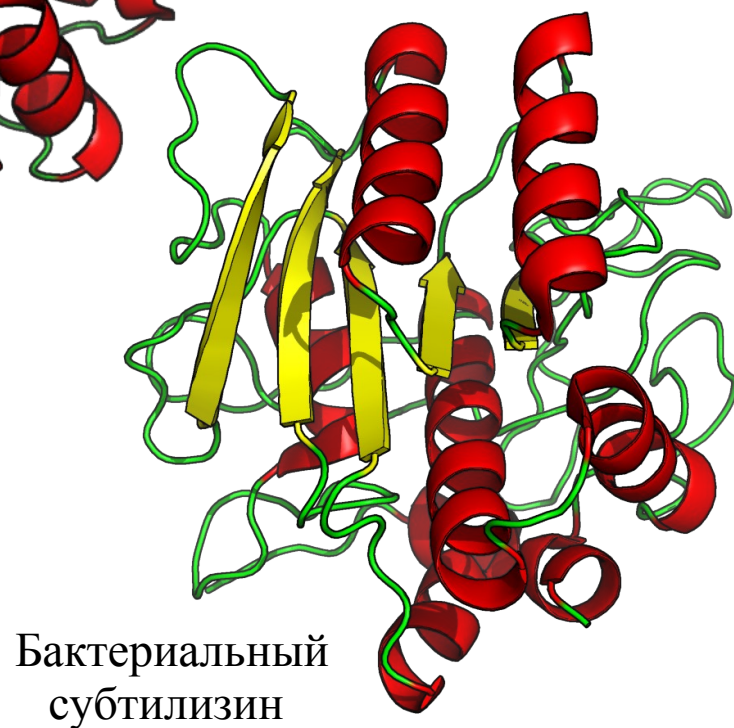
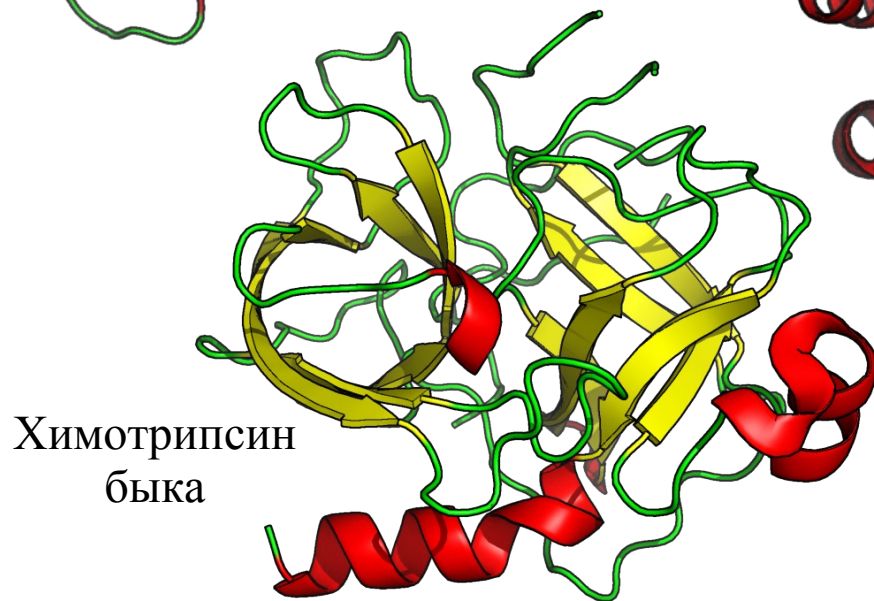
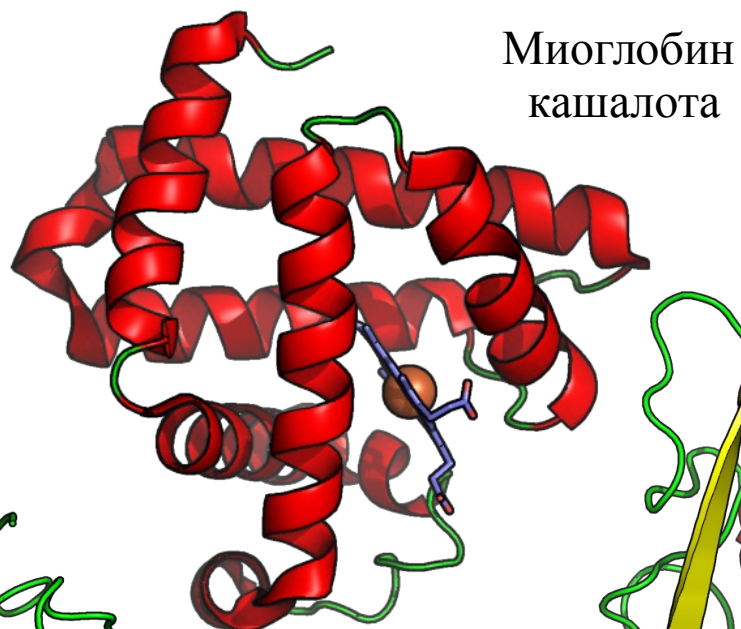
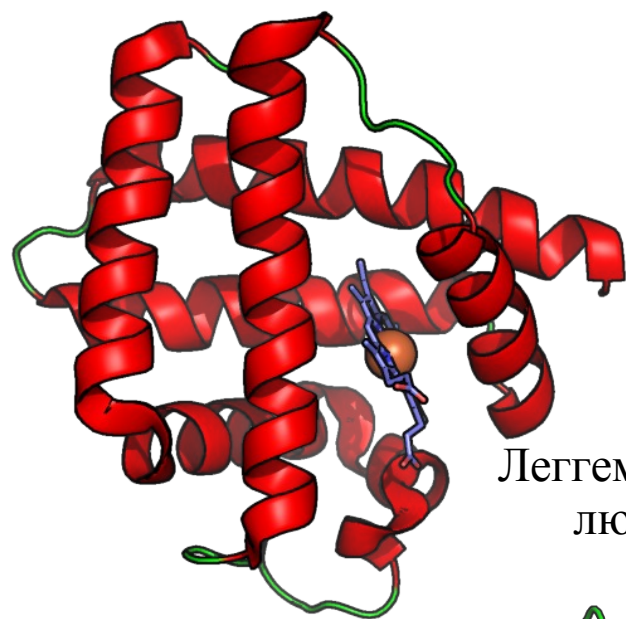
Annotation

- Chain
- Beta strand
- Signal peptide
- Disulfide bond
- Propeptide
- Helix
- Domain
- Metal binding
- Active site
- Sequence conflict
- Turn

Amino acid properties

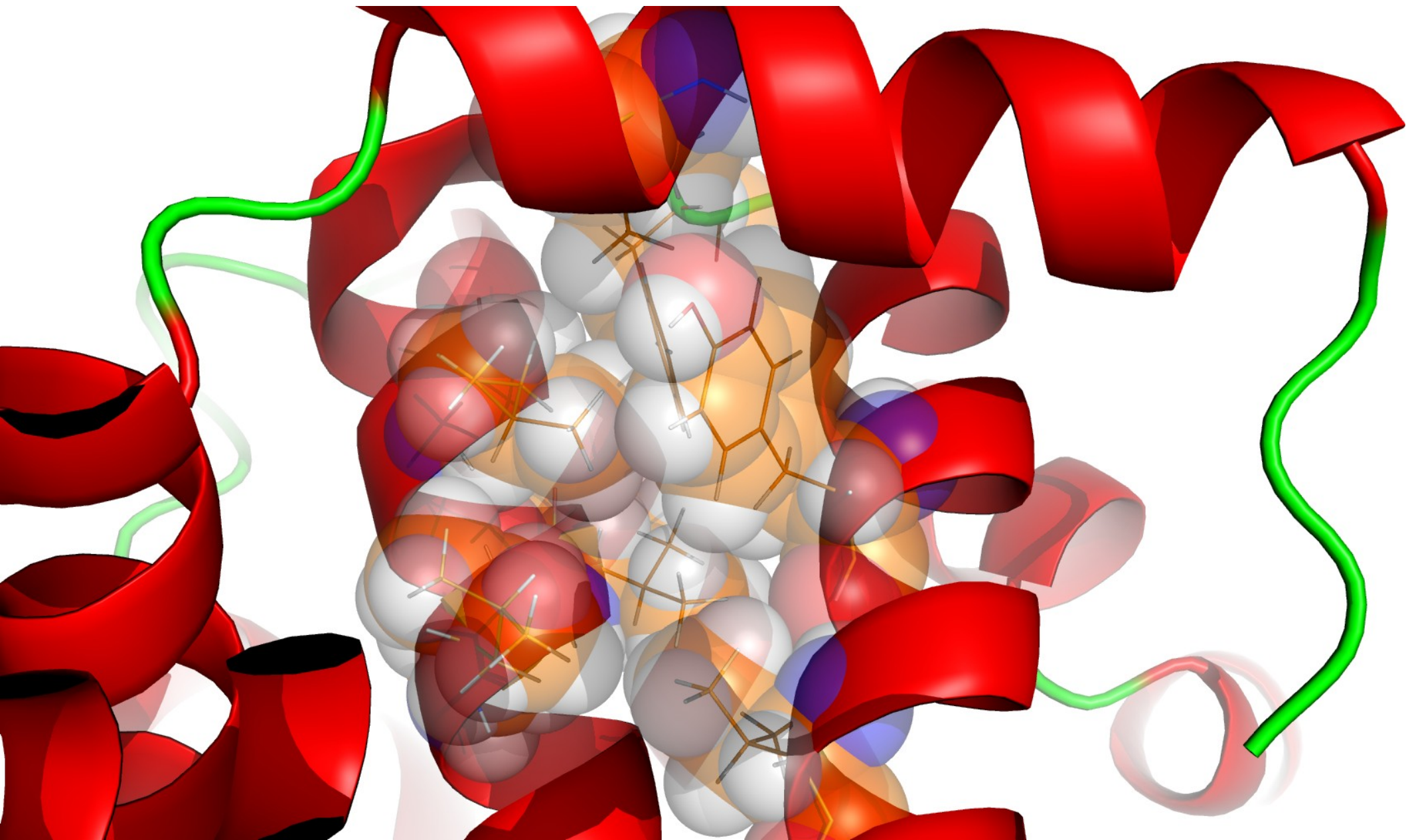
- Similarity
- Hydrophobic
- Negative
- Positive
- Aliphatic
- Tiny
- Aromatic
- Charged
- Small
- Polar
- Big
- Serine Threonine

Структурное сходство/различие очевидно



Трехмерная структура белка много консервативнее первичной последовательности.

Контакты между остатками



Наиболее консервативной чертой трехмерной структуры белка оказываются взаимные контакты между аминокислотами.

Дальние гомологи

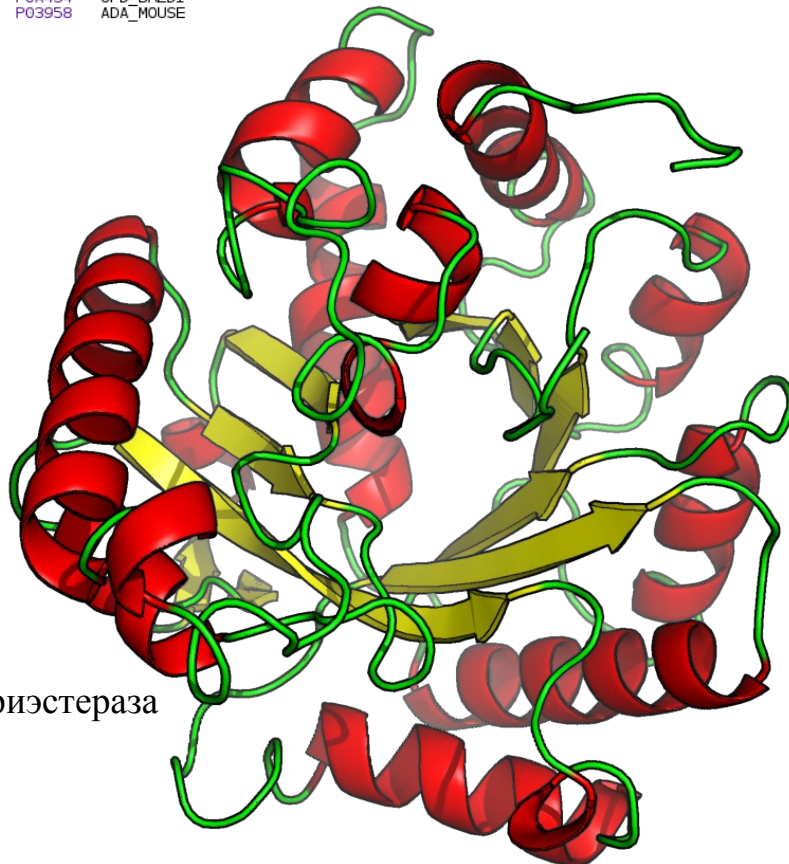
Alignment

Learn how to print this alignment in color

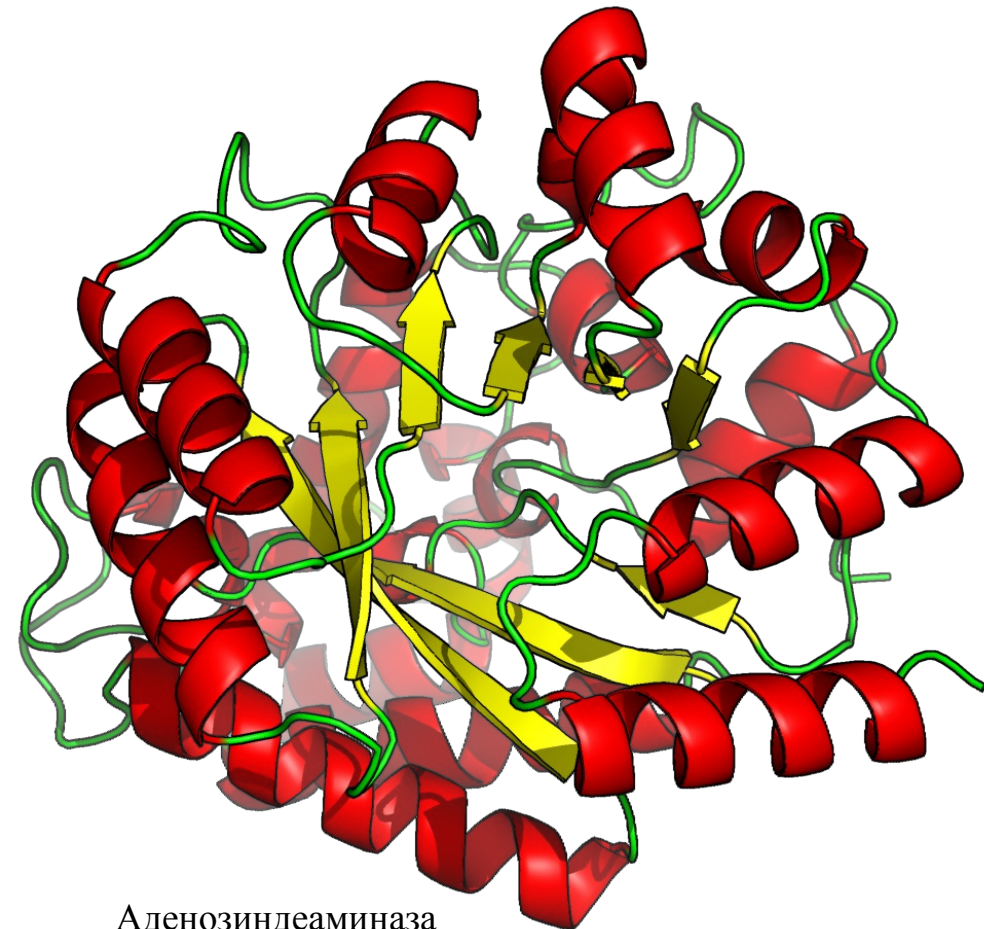
1	-----MQTFRRVV-----LKSAAAAGT--LLGGLAGCASVAGSLGTGDRINTVIRGPIITISE	48	P0A434	OPD_BREDI
1	MAQTFAFNKPKVELHVHLOGAIKPEITLYEGKFGIALPA-----DTVEELRNIIIGHD-----	53	P03958	ADA_MOUSE
	:::*			
49	AGFTLTTEHICGSSAGFLRAW-----PEFFGSRKALAEKAVRGLRRAAGVRTIVDVSTF	104	P0A434	OPD_BREDI
54	-----KPLSLPGFLAKFDYYMPVIAGCREATKRIAYEFVEMKAKEGVVY-----V	98	P03958	ADA_MOUSE
	:::*			
105	DIGRDVSLLAEVSPRAADVHIVAATGLWFDPPLSMRIRSVVEELTOFFLREIQYGIETGIR	164	P0A434	OPD_BREDI
99	EVRYSPHLLANS-K-----VDMPWNQTEGDVTE---DDVVDLVNOGLQEQEQAFGIK	147	P03958	ADA_MOUSE
	:::*			
165	AGTIKVAITGKATPFOELVLKAAARSLATGVPVITHTAASQPDGEQQAATFESEGLSPS	224	P0A434	OPD_BREDI
148	VRSLCCMRH-QPSWSLEVLKCKYNOKTVVAM-----DLAG-----DETLEGS	191	P03958	ADA_MOUSE
	:::*			
225	RVCIGHSDDTDD-----LSYLTALAARGYLIGLDHIFHSAIGLEDNASISA	270	P0A434	OPD_BREDI
192	SLFFPGHVEAYEGAVKMGIRHTVHAGEVSGPEVVFRAVDILKTERVGHGYHTLEDEALYN-	250	P03958	ADA_MOUSE
	:::*			
271	LLGIRSNQTRALLIKALTDQGYMKQILVSNDALEF---GFSSYVTNIMDVM-----DRVNE	322	P0A434	OPD_BREDI
251	-----R-LLKENHFEVCPWSSYLTGANDPKTTHAVVREKN	285	P03958	ADA_MOUSE
	:::*			
323	DGMAFIPLRVIPF-----LREKGVPOETLAGITVTNPA-RFLSFTLRAS---	365	P0A434	OPD_BREDI
286	DKANYSINTDDPLIFKSTLDTDYQTKKDMGFTEEFKFLNINAAKSSFLPEEEKKELLE	345	P03958	ADA_MOUSE
	:::*			
366	-----	365	P0A434	OPD_BREDI
346	RLYREYQ	352	P03958	ADA_MOUSE

- Уровень гомологии аденозиндеаминазы мыши и фосфотриэстеразы (органофосфат гидролазы) бактерии *Pseudomonas diminuta* составляет 13.6%, что не позволяло установить гомологию.

- Сравнение пространственных структур показало наличие в них общего домена ТИМ-бочонка (в честь ТриозофосфатИзоМеразы).

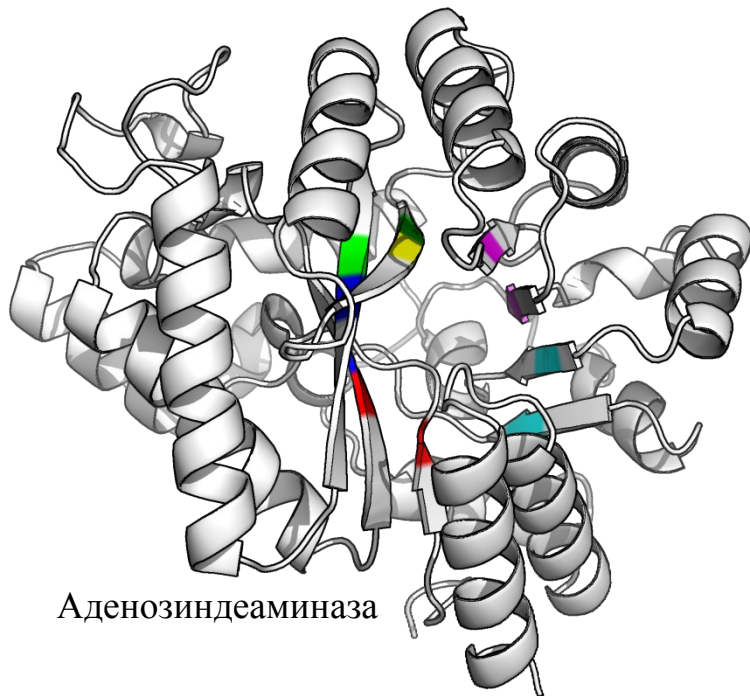
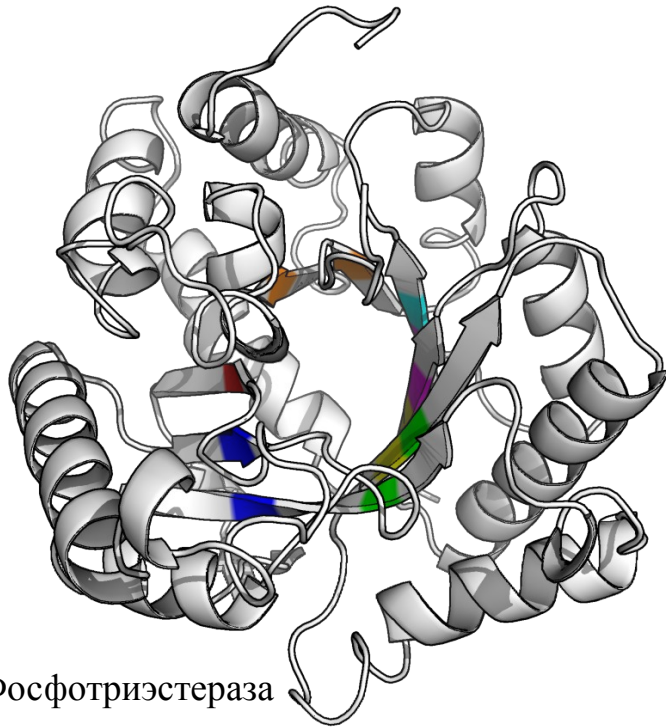


Фосфотриэстераза

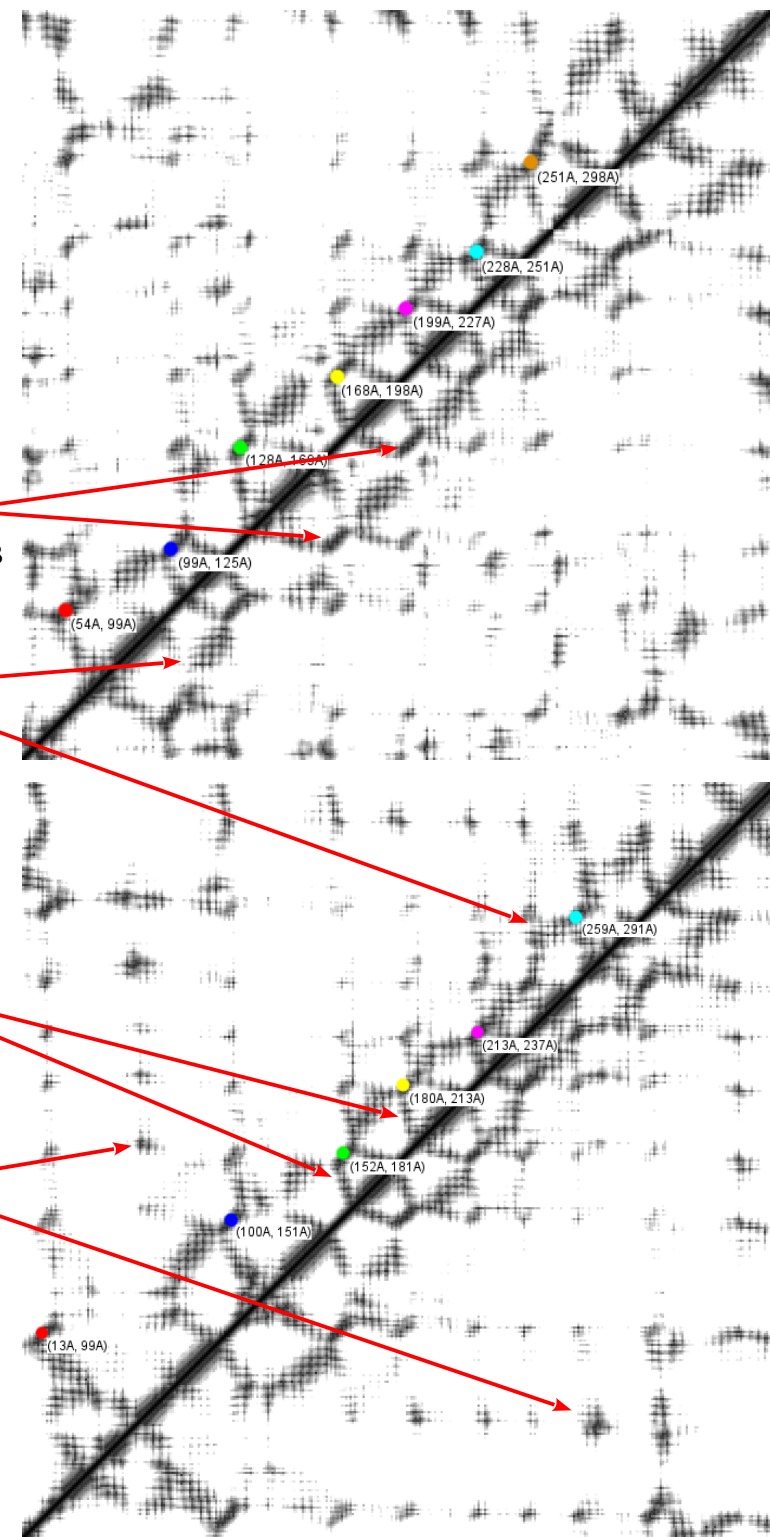


Аденозиндеаминаза

Матрицы контактов



- Матрицы контактов аденозиндеаминазы мыши и бактериальной фосфотриэстеразы очень похожи
- Узкие штрихи, идущие вдоль диагонали, соответствуют участкам параллельных β -слоёв
- Широкие штрихи, идущие вдоль диагонали, соответствуют участкам параллельных α -спиралей
- Широкие штрихи, идущие под углами, соответствуют областям контактов между антипараллельными α -спиралями и β -слоями
- Изолированные области сближения соответствуют точечным контактам между петлями и элементами вторичной структуры



DALI — Distance matrix ALignment

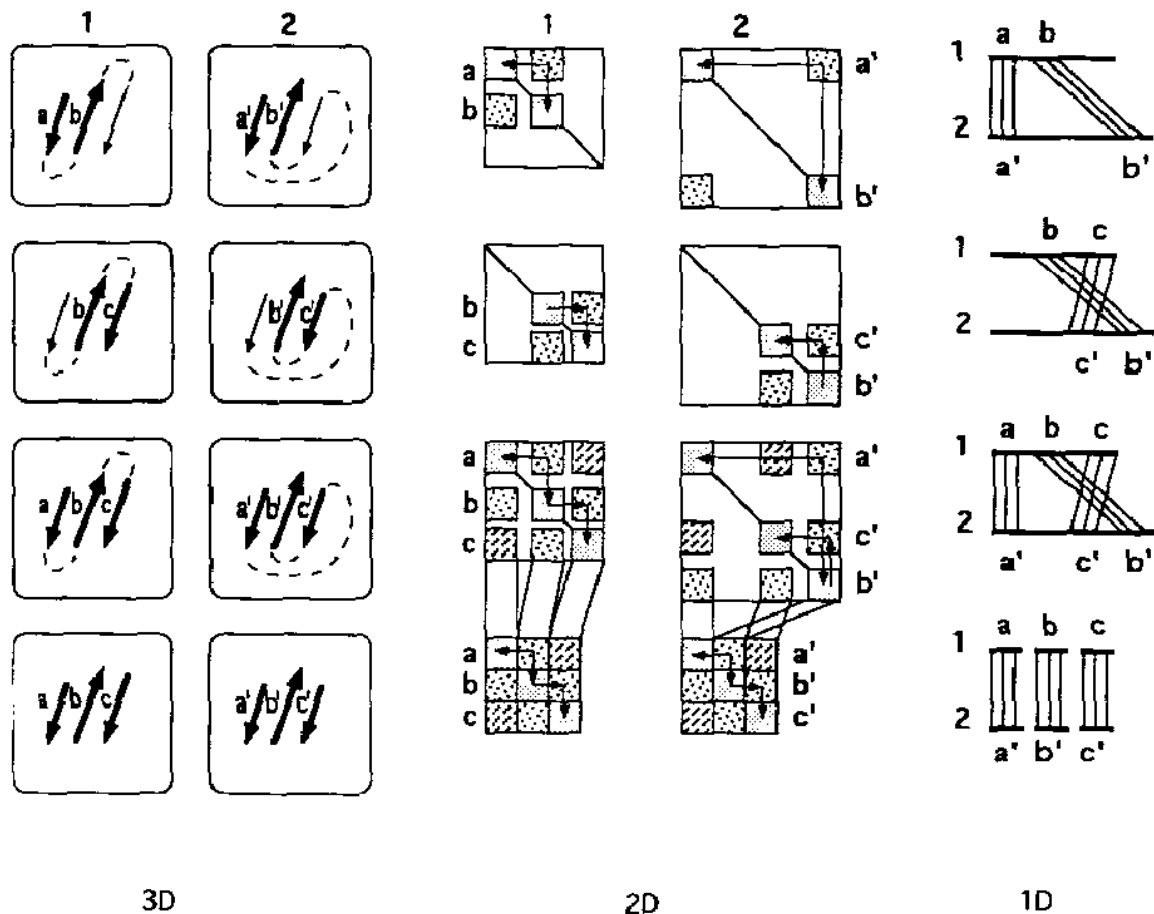
- Последовательности разбивают на 6-ти аминокислотные фрагменты
- Для каждой пары фрагментов рассчитывают оценочную функцию S

$$S = \sum_{i,j}^N \theta^r - |d_{ij}^A - d_{ij}^B|$$

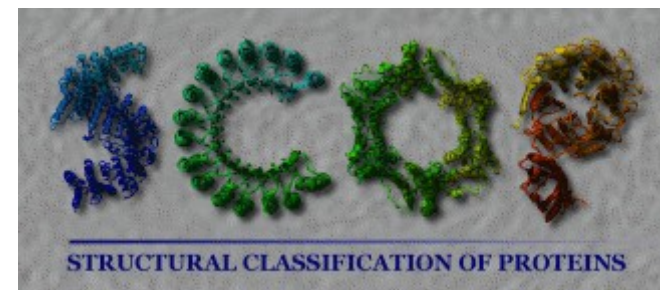
- Если S выше порогового, фрагменты считаются выравненными и программа пытается их расширить

- Итогом формирования списка выравненных фрагментов является затравка, основа консервативной части структуры пары белков (фолд)

- Затравка расширяется наименее невыгодным способом с использованием оценочной функции S



Pfam



Перекрестный поиск

Цель: найти структуры, соответствующие данной последовательности, и наоборот, последовательности, соответствующие данной структуре.

Эта задача известна как задача распознавания **фолда**, то есть общей схемы третичной структуры белка.

1. 3D-профили.

- Для каждой аминокислоты анализируют окружение в базе структур или некоторой её части
- Рассчитывают вероятности для каждой аминокислоты находиться в том или ином окружении
- Используя одномерный профиль свойств окружения для некоторого фолда можно рассчитать вероятность такой укладки для тестируемой последовательности

R. Liithy, J.U. Bowie, D. Eisenberg. "Assessment of protein models with three-dimensional profiles". **1992**. Nature. 356, 83-85.

2. Протягивание.

- Тестируемую последовательность выравнивают против всех последовательностей, для которых имеется 3D структура.
- Тестируемую последовательность укладывают согласно выравнению
- Качество полученной укладки контролируют, анализируя взаимные расстояния между различными аминокислотами.

Связь последовательности и структуры

В 1969 году С. Левинталь подсчитал, что полипептид, состоящий из 100 а.к. может пребывать в 10^{143} конформаций.

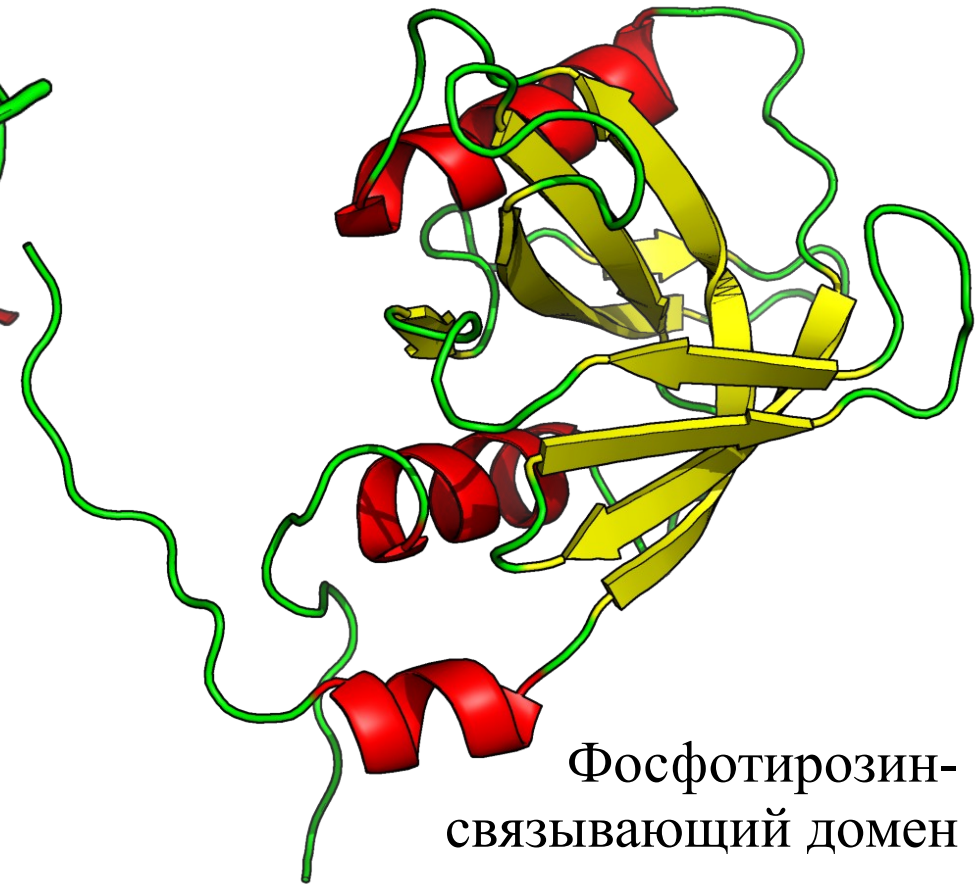
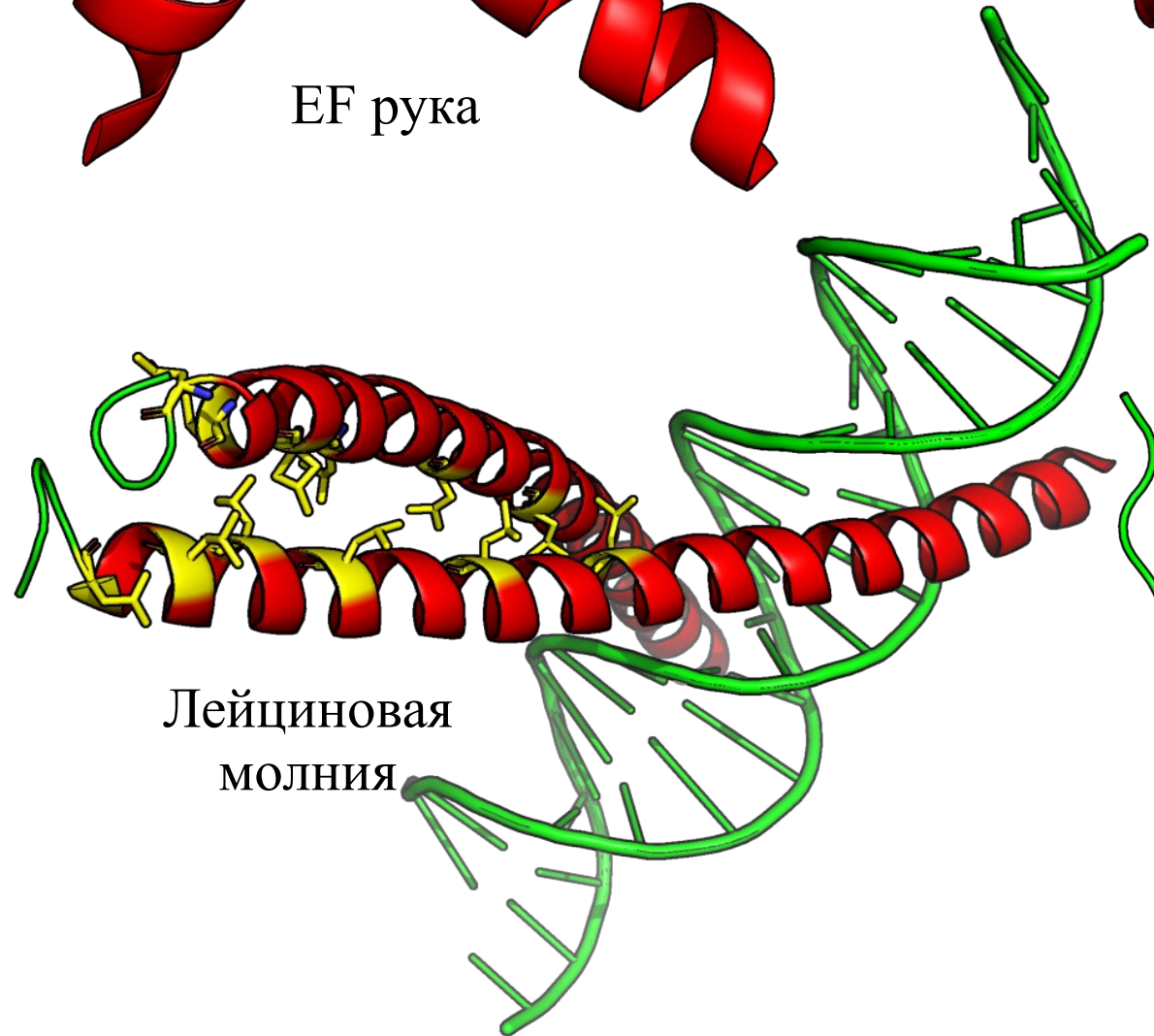
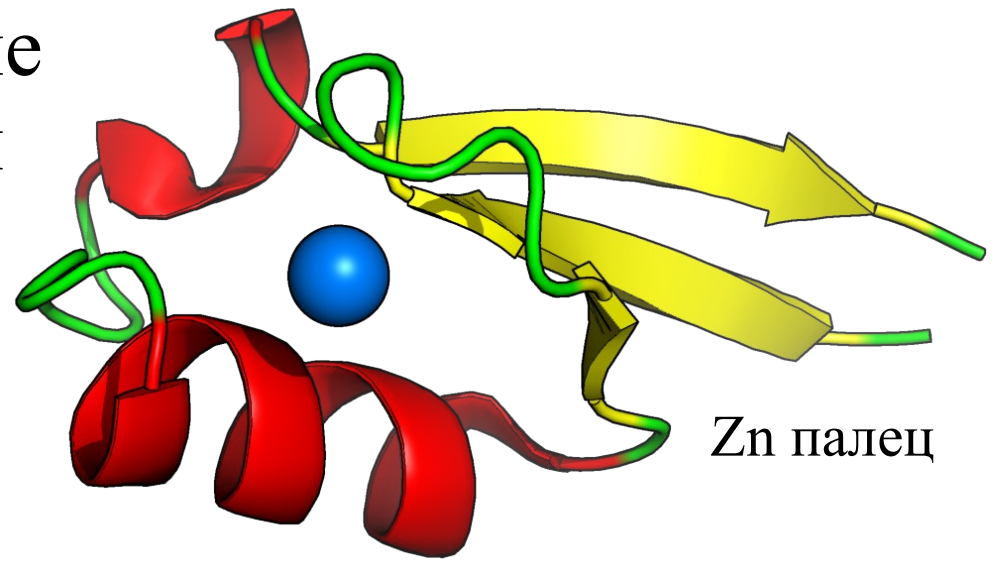
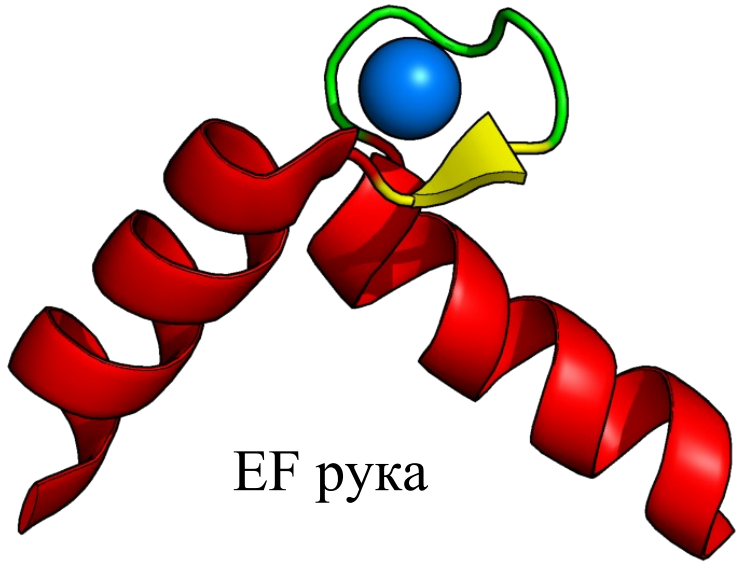
Задача предсказания трехмерной структуры белка *ab initio* не решена, однако:

- Элементы вторичной структуры могут быть предсказаны
- Вариантов взаимного расположения этих элементов уже значительно меньше.
- Помимо элементов вторичной структуры существуют более сложно организованные блоки белковой структуры.



Сайрус Левинталь (1922 – 1990)

Структурные МОТИВЫ



Предсказание вторичной структуры

1. Метод Чоу-Фасмана

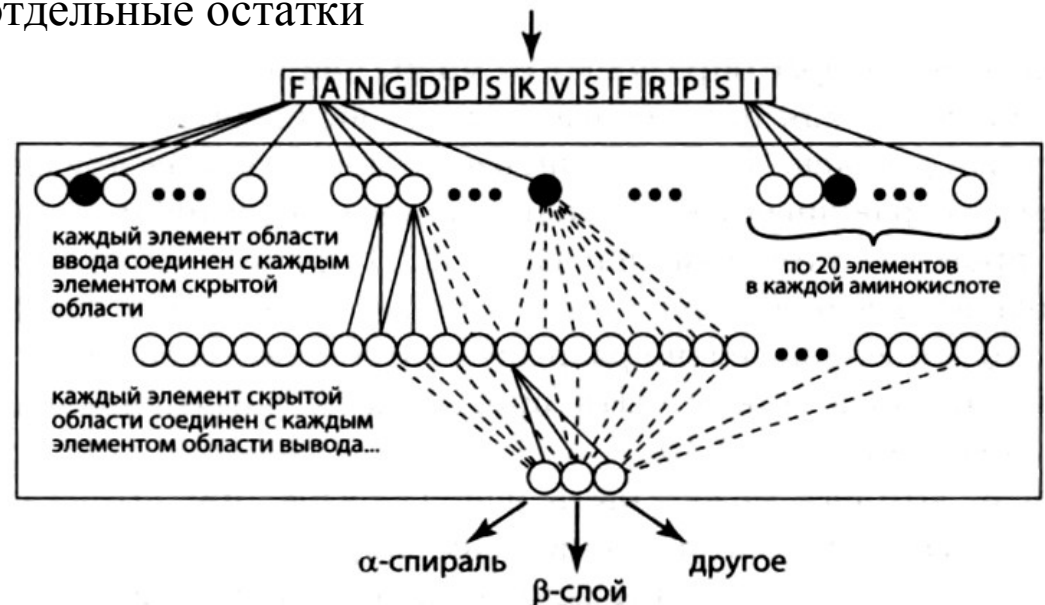
- Аминокислоты разделяют по типам вторичной структуры
- 4 из 6-ти α -спиральных остатка свидетельствуют об образовании спирали, а 3 из 5-ти β -слойных - образование β -слоя
- Точность метода не превышает 60%

Chou P.Y., Fasman G.D. "Prediction of protein conformation". Biochemistry. 1974. 13(2): 222–245.

2. Метод GOR и нейронные сети

- Используют условные вероятности давать те или иные типы вторичной структуры.
- Анализируют широкую «рамку», а не отдельные остатки
- Точность составляет ок. 90%

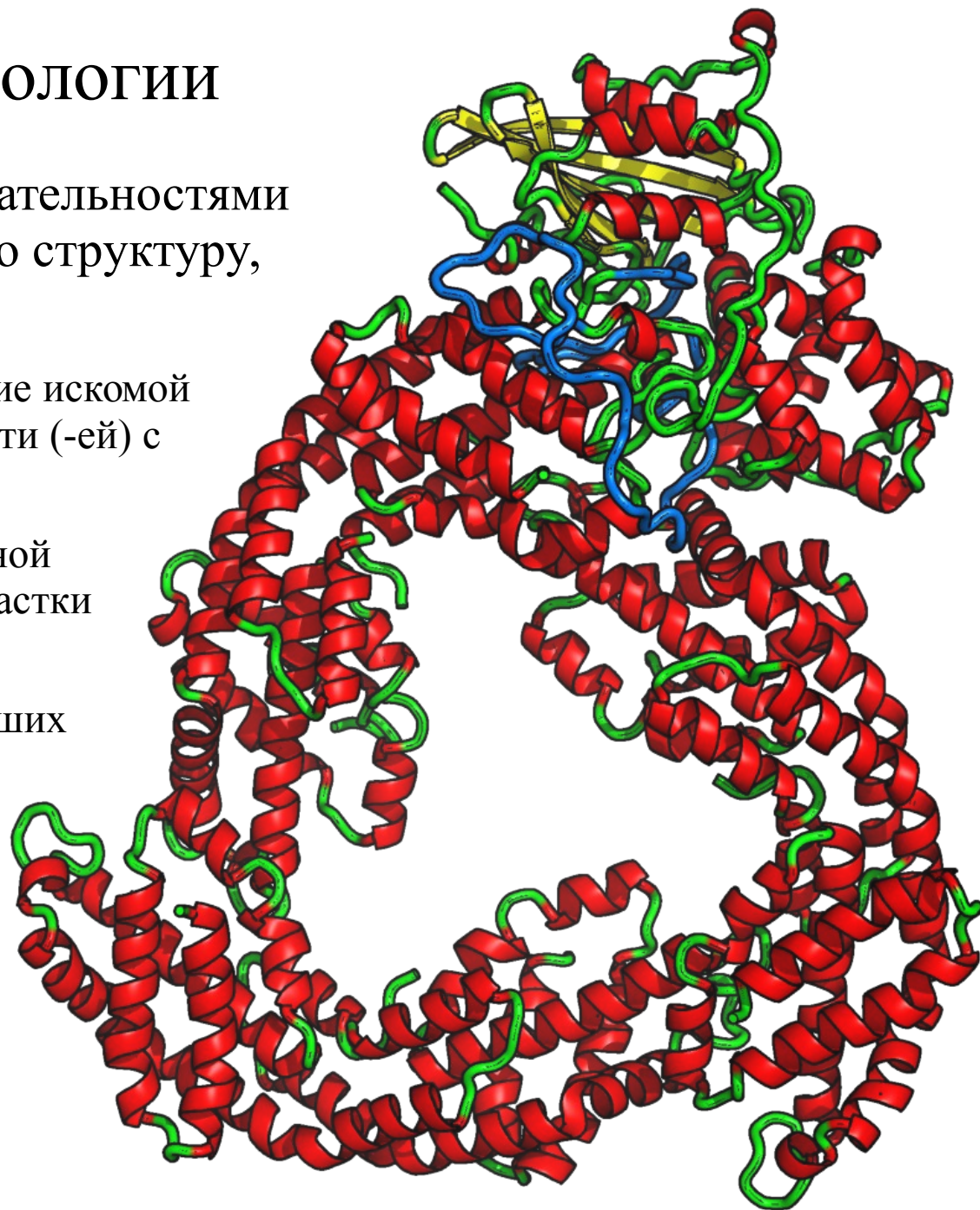
Garnier J., Osguthorpe D.J., Robson B. Analysis of the accuracy and implications of simple methods for predicting the secondary structure of globular proteins. J. Mol. Biol. 1978. 120: 97–120.



Моделирование по гомологии

Если белки со схожими последовательностями имеют схожую пространственную структуру, тогда:

- Построим множественное выравнивание искомой последовательности и последовательности (-ей) с известной структурой
- Наложим совпадающие участки основной цепи искомой последовательности на участки цепи известной структуры
- Заменяем боковые радикалы мутировавших остатков, сохраняя по возможности их конформации
- Устраним наложения атомов и другие шероховатости
- Оптимизируем геометрию системы, минимизировав ее потенциальную энергию



MODELLER (<http://salilab.org/modeller/>),
SWISS_MODEL (<http://swissmodel.expasy.org/>)

Спасибо за внимание!!!